

Tafeln

Autor(en): **[s.n.]**

Objektyp: **Appendix**

Zeitschrift: **Eclogae Geologicae Helvetiae**

Band (Jahr): **56 (1963)**

Heft 1

PDF erstellt am: **13.09.2024**

Nutzungsbedingungen

Die ETH-Bibliothek ist Anbieterin der digitalisierten Zeitschriften. Sie besitzt keine Urheberrechte an den Inhalten der Zeitschriften. Die Rechte liegen in der Regel bei den Herausgebern.

Die auf der Plattform e-periodica veröffentlichten Dokumente stehen für nicht-kommerzielle Zwecke in Lehre und Forschung sowie für die private Nutzung frei zur Verfügung. Einzelne Dateien oder Ausdrucke aus diesem Angebot können zusammen mit diesen Nutzungsbedingungen und den korrekten Herkunftsbezeichnungen weitergegeben werden.

Das Veröffentlichen von Bildern in Print- und Online-Publikationen ist nur mit vorheriger Genehmigung der Rechteinhaber erlaubt. Die systematische Speicherung von Teilen des elektronischen Angebots auf anderen Servern bedarf ebenfalls des schriftlichen Einverständnisses der Rechteinhaber.

Haftungsausschluss

Alle Angaben erfolgen ohne Gewähr für Vollständigkeit oder Richtigkeit. Es wird keine Haftung übernommen für Schäden durch die Verwendung von Informationen aus diesem Online-Angebot oder durch das Fehlen von Informationen. Dies gilt auch für Inhalte Dritter, die über dieses Angebot zugänglich sind.

GAGNEBIN, A. (1925): *Carte géologique des Préalpes entre Montreux et le Moléson et du Mont Pélerin*, 99.

JEANNET, A. (1912): *Carte géologique des Tours d'Aï et des Régions avoisinantes*, 68.

Geologischer Atlas der Schweiz 1:25000:

BADOUX, H., CHESSEX, R., JEANNET, A., LUGEON, M., & RIVIER, F. (1960): *Monthey*, 37.

BIERI, P., & TERCIER, J. (1961): *Gurnigel*, 36.

Carte géologique détaillée de la France 1:80000:

RENEVIER, E., LUGEON, M., & GAGNEBIN, E. (1950): *Feuille 150 Thonon*, 2me éd.

Manuskript eingegangen am 30. August 1962

Tafel I

Fig. 1. *Tintinnopsella romanica* n. sp. Schliff Nr. XXI/7 (Weissenburgberg), Valanginian. $\times 500$, gewöhnliches Licht

Fig. 2. Kalk mit structure grumeleuse und einzelnen autochthonen Onkoiden. $\times 12$, gewöhnliches Licht

Fig. 3. Übergang von calcaire grumeleux zu autochthon-onkolithischem Kalk. $\times 12$, gewöhnliches Licht

Fig. 4. Basis eines Calcarenits mit graded bedding; Fetzen von aufgearbeitetem Kalk. Profil Jaun; Schicht XVI/4

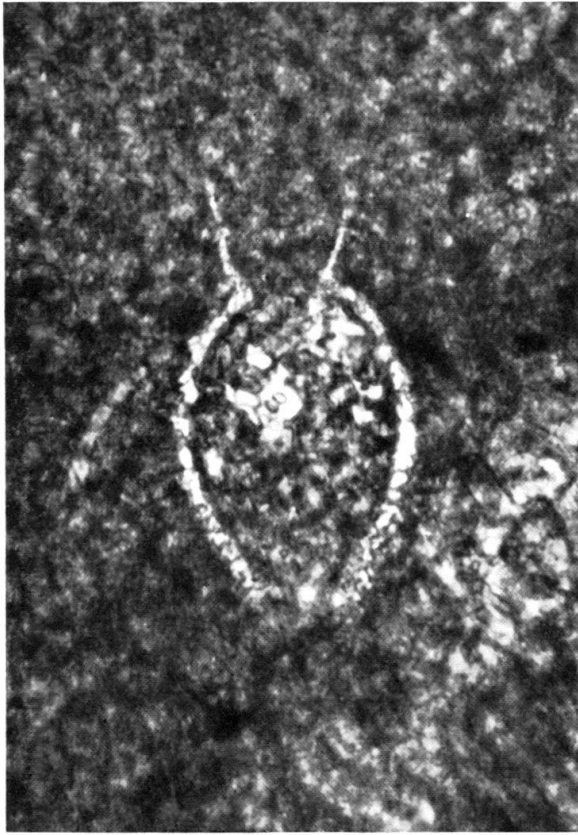


Fig. 1

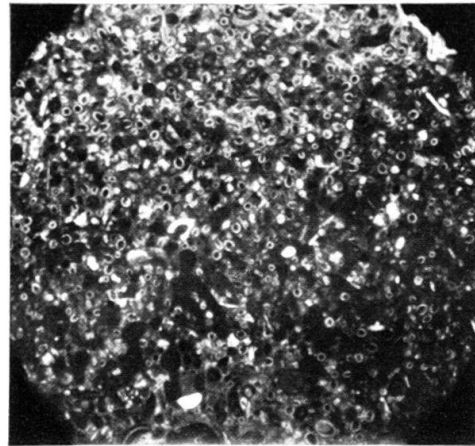


Fig. 2

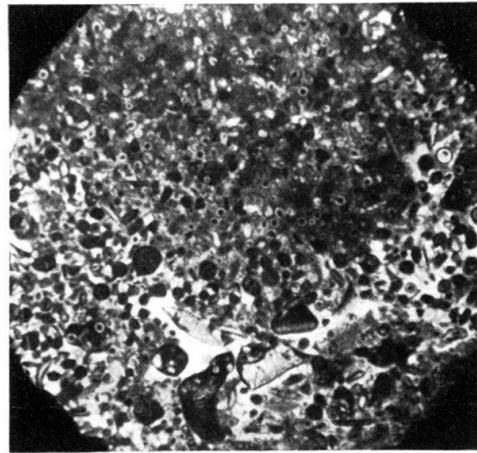


Fig. 3

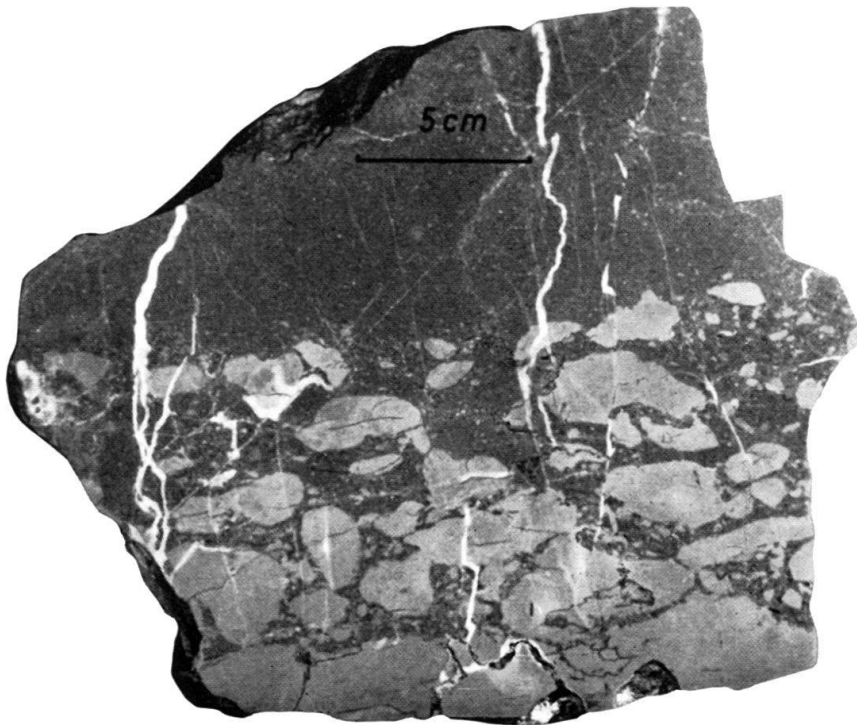


Fig. 4

Tafel II

Fig. 1. Calcirudit mit dachziegelartiger Stappellung der Komponenten; Schüttungsrichtung von rechts (S). Profil Aveneyre, Schicht XX/7

Fig. 2. Intraformationelle Breccie mit wirr verteiltem (weich aufgearbeitetem) Silex. Profil Aveneyre, Schicht XX/3

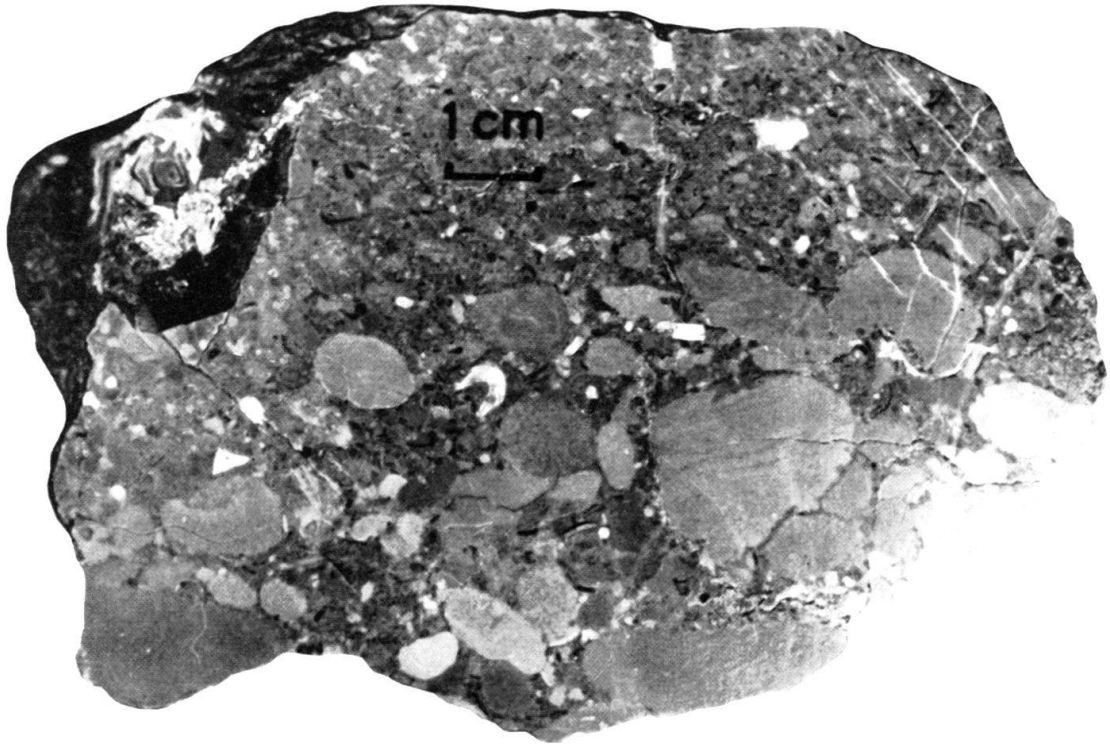


Fig. 1

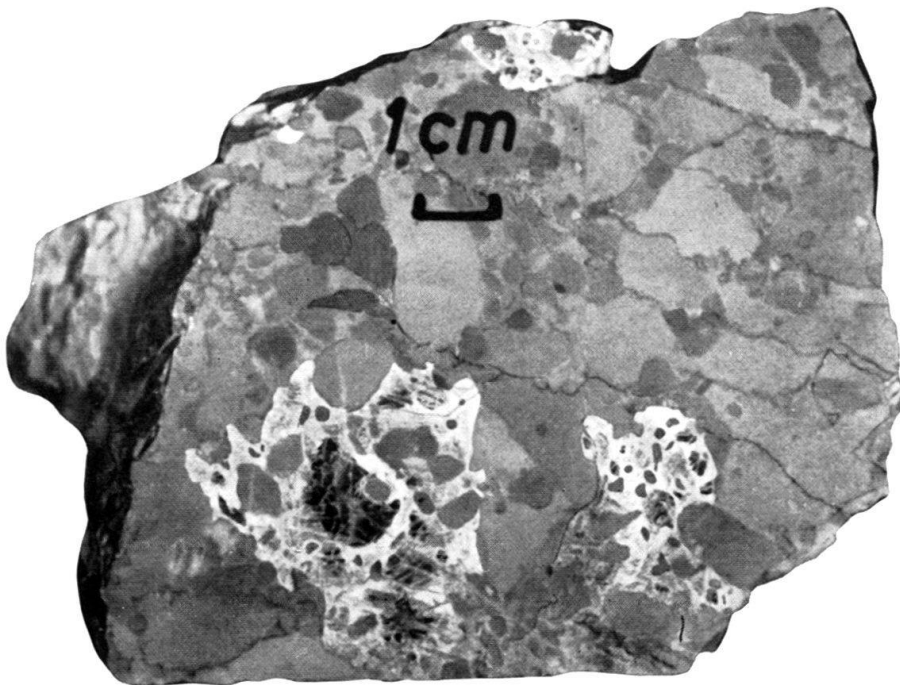


Fig. 2